

ХИМИЯ

УДК 548.737

ОКСАТРАН – РОДОНАЧАЛЬНИК НОВОГО СЕМЕЙСТВА АТРАНОВ.  
КРИСТАЛЛИЧЕСКАЯ И МОЛЕКУЛЯРНАЯ СТРУКТУРА  
N-ОКСИДА ТРИЭТАНОЛАМИНА

© 2014 г. Академик **М. Г. Воронков**, Э. А. Зельbst, А. Д. Васильев,  
**М. С. Молокеев**, Г. А. Кузнецова

Поступило 27.03.2014 г.

DOI: 10.7868/S0869565214270139

N-Оксиды третичных аминов, отвечающие общей формуле  $\bar{O}-\overset{+}{NR}_3$  (ранее  $O=NR_3$  или  $O \rightarrow NR_3$ ), продолжают привлекать интерес специалистов в области синтетической, теоретической и прикладной химии. Они уже находят применение в косметике, в качестве биомедицинских препаратов, а также как оксиданты в ряде органических реакций (катализическое эпоксидирование и дигидроксилирование алkenов, каталитическое окисление спиртов и др.) [1, 2]. Наиболее общим методом их синтеза является реакция окисления третичных аминов пероксидом водорода, перкислотами, диоксиранами и оксаазапиридинами [1].

К числу N-оксидов триалкиламинов относят и N-оксид триэтаноламина (ТЭА), которому приписана формула  $\bar{O}-\overset{+}{N}(\text{CH}_2\text{CH}_2\text{OH})_3$ , полученный окислением триэтаноламина пероксидом водорода [3]. Очевидно, авторам [3] было неизвестно, что ТЭА и его соли  $X^-[\text{NH}(\text{CH}_2\text{CH}_2\text{OH})_3]^+$  – протатраны [4] – в отличие от триалкиламинов и солей триалкиламмония обладают эндо-структурой. В соединениях из ряда атранов атом азота смешен из плоскости окружающих его атомов углерода внутрь и обрамлен тремя группами  $\text{CH}_2\text{CH}_2\text{OH}$  [4–6]. Согласно квантово-химическим расчетам и данным рентгеноструктурных исследований, ТЭА обладает эндо-конформацией, которая наиболее стабильна независимо от протонирования атома азота и кристаллической упаковки [7]. Такое строение молекул ТЭА и протатранов объяс-

нено внутримолекулярным индуктивным взаимодействием атомов азота и кислорода через пространство [5, 8].

В последние годы возрос особый интерес к N-оксидам третичных аминов. По аналогии к ним был причислен и N-оксид ТЭА, которому было приписано строение  $O=N(\text{CH}_2\text{CH}_2\text{OH})_3$  [3], однако его молекулярная структура не была установлена. Поэтому мы решили определить ее методом рентгеновской дифракции, предполагая, что оксидный атом кислорода в этой молекуле связан с атомом азота и окружен тремя группами  $\text{CH}_2\text{CH}_2\text{OH}$ , как атом водорода в протатранах [4]. Полученные нами данные оказались неожиданными и, тем не менее, позволили по аналогии с протатранами N-оксид ТЭА назвать оксатраном (OA), рис. 1.

Недавно опубликована структура комплекса OA с ТЭА (ОАТЭА) [9]. Амино-оксидный атом кислорода в нем занимает экзо-позицию относительно групп  $\text{CH}_2\text{CH}_2\text{OH}$  и соединен водородны-

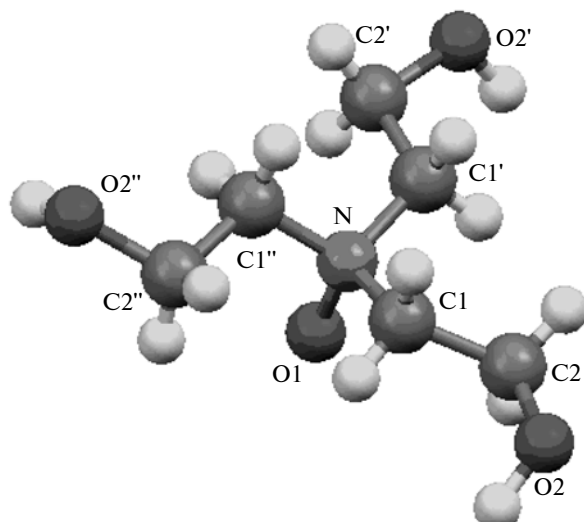


Рис. 1. Молекула оксатрана.

Иркутский институт химии им. А. Е. Фаворского  
Сибирского отделения Российской Академии наук  
Восточно-Сибирская государственная академия  
образования, Иркутск

Институт физики им. Л. В. Киренского  
Сибирского отделения Российской Академии наук,  
Красноярск

Сибирский федеральный университет, Красноярск

**Таблица 1.** Экспериментальные данные и параметры уточнения структуры ОА

Формула	C <sub>6</sub> H <sub>15</sub> NO <sub>4</sub>
Температура, К	300(2)
Пространственная группа, Z	P $\bar{3}$ , 2
a, b, c, Å	8.24015(11), 8.24015(11), 6.75661(10)
$\alpha, \beta, \gamma$ , град	90, 90, 120
V, Å <sup>3</sup>	397.31(1)
d, г/см <sup>3</sup>	1.3808
$\mu$ , мм <sup>-1</sup>	0.976
2 $\theta$ <sub>max</sub> , град	140
Величина шага, град	0.0160352
Число точек профиля	8419
Число рефлексов	507
Число уточняемых параметров	16
R <sub>wp</sub> , %	6.159
R <sub>exp</sub> , %	1.806
R <sub>p</sub> , %	4.843
R <sub>B</sub> , %	0.71

ми связями с гидроксильными атомами водорода лиганда – ТЭА.

N-Оксид ТЭА получен нами взаимодействием ТЭА с пероксидом водорода. Выход 90%, т. пл. 104–105°C.

Брутто-формула C<sub>6</sub>H<sub>15</sub>NO<sub>4</sub>.

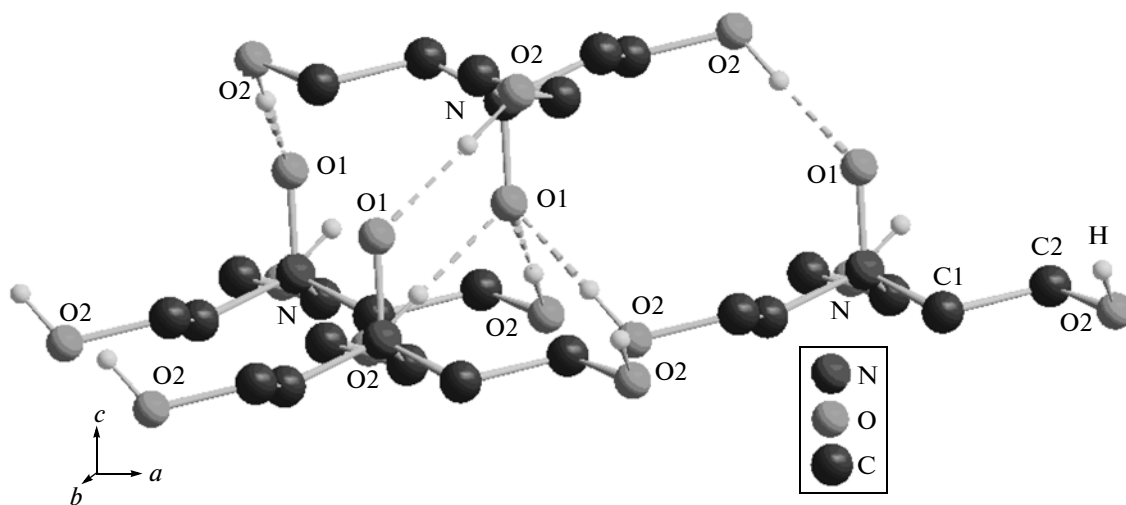
Найдено, %: C 43.38, H 9.12, N 8.76.  
Вычислено, %: C 43.63, H 9.15, N 8.48.

После перекристаллизации из ацетонитрила прозрачные монокристаллы ОА не гигроскопичны и имеют блестящие, ярко выраженные грани.

Наше рентгеноструктурное исследование ОА выполнено на рентгеновском дифрактометре D8 ADVANCE (Bruker AXS), CuK $\alpha$ -излучение, линейный детектор VANTEC. В эксперименте использовали методику переменной скорости сканирования (VCT) и переменного шага (VSS) [10–12]. Время экспозиции увеличивали с ростом угла 2 $\theta$ , что приводило к значительному улучшению качества рентгенограмм. Как правило, на полуширине пика (FWHM) должны укладываться 5–8 экспериментальных точек, однако пики значительно уширялись с увеличением угла 2 $\theta$ , поэтому для уменьшения времени эксперимента в высокоугловых областях шаг был увеличен [13].

Модель структуры найдена методом моделирования молекулы в прямом пространстве, сопровождаемого фазовым отжигом [14]. Кристаллы ОА обладают тригональной симметрией. Неводородные атомы уточнили в изотропном приближении тепловых колебаний методом Ритвельда. Гидроксильные атомы водорода поместили в положения, отвечающие наиболее вероятной водородной связи O–H···O; остальные атомы водорода расставили в соответствии с геометрией. Экспериментальные данные и параметры уточнения структуры ОА приведены в табл. 1. Информация об исследованной структуре депонирована в CCDC под номером 984100 ([www.ccdc.cam.ac.uk/data\\_request/cif](http://www.ccdc.cam.ac.uk/data_request/cif)).

Каждая молекула ОА расположена в кристалле на оси симметрии 3-го порядка, проходящей вдоль связи N–O1 (рис. 1). Оксидный атом кислорода O1 соединен водородными связями с гидроксильными атомами O2 трех ближайших идентичных молекул (O1···O2 = 2.738(6) Å, угол O1···H–O2 = 178.33(1) $^\circ$  близок к линейному), рис. 2. Эти значения близки



**Рис. 2.** Водородные связи O1···H–O2 в оксатране (атомы водорода в CH<sub>2</sub> не показаны).

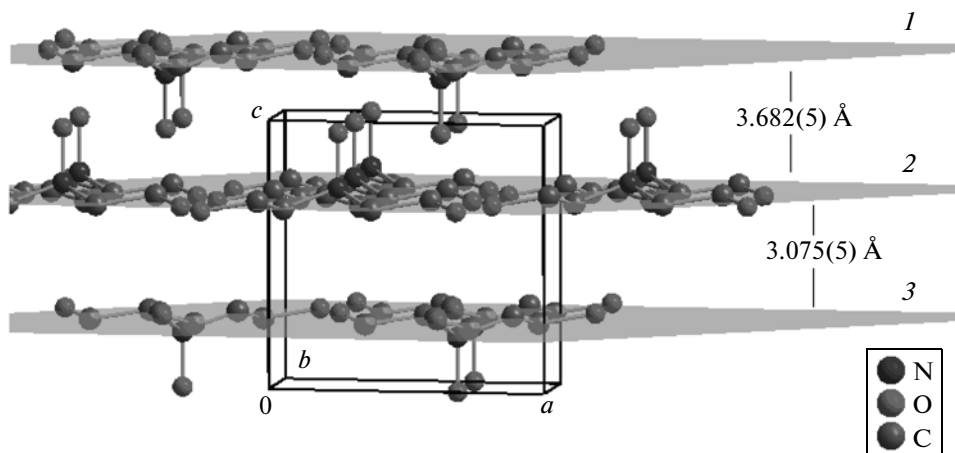


Рис. 3. Послойная упаковка молекул ОА в кристалле (атомы водорода удалены для упрощения картины).

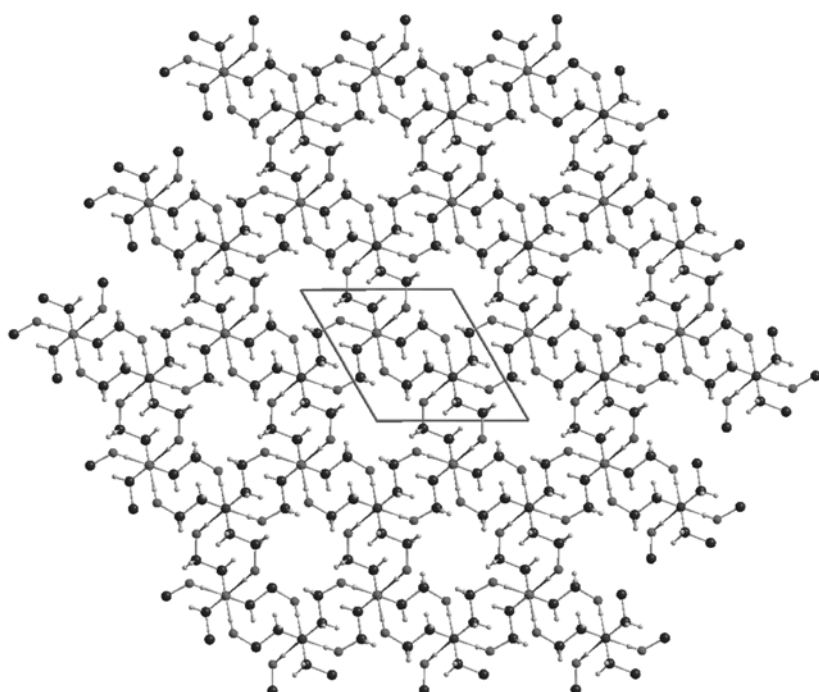


Рис. 4. Упаковка молекул оксатрана в кристалле в проекции на плоскость *ab*.

к значениям водородных связей в комплексе ОАТЭА [9] – 2.705(7) Å – и в димере ТЭА – O1···O2 – 2.696(7) Å [15].

Из-за сильных межмолекулярных водородных связей O1···H-O2' атомы O2 развернуты от центра молекулы (связи N–O1) и оказываются на уровне атомов C1, т.е. практически находятся в одной с ними плоскости (рис. 1). Плоскости C1C1'C1" и O2O2'O2" отстоят друг от друга лишь на 0.02 Å. Внутримолекулярное расстояние N···O2 (3.779(6) Å) значительно больше этого расстояния в ТЭА (2.991(5) Å). Каждая из трех водородных связей O2–H···O1 соединяет “внутренние” атомы кисло-

рода O1 с гидроксильными группами O2H ближайших молекул. В то же время три гидроксильные группы каждой молекулы ОА связаны водородными связями с атомами кислорода O1 трех ближайших молекул. Из-за прочного межмолекулярного взаимодействия и тригональной симметрии кристаллического пространства молекулы образуют слои, параллельные грани ab элементарной ячейки, в отличие от комплекса ОАТЭА [9], упаковку молекул в котором сравнивают со шляпкой гриба (“cap”), и самого ТЭА [15], образующего димеры за счет водородных связей ближайших молекул.

Эти слои попарно связаны водородными связями, в то время как между парами связи только ван-дер-ваальсовы (рис. 3). Расстояния между слоями в паре (слои 1 и 2) и между парами слоев (слои 2 и 3) показаны на рис. 3.

Упаковка молекул ОА в кристалле и конформация молекулы имеют существенные особенности, не свойственные кристаллам протатранов, которые сохраняют эндо-конфигурацию с повернутыми в одном направлении 2-гидроксиэтильными группами, напоминающими “абажур” или “фонарик” приближенной симметрии  $C_3$ , внутри которого заключены атом водорода или неподеленная электронная пара атома азота [5].

В проекции на плоскость *ab* вдоль оси с элементарной ячейки прослеживаются не заполненные атомами “колонки” небольшого диаметра (рис. 4).

Судя по межатомным расстояниям, ионность связи N—O в молекуле ОА ( $1.387(5)$  Å) ниже, чем в комплексе ОАТЭА ( $1.423(6)$  Å) [9], и соответствует ионности в N-оксиде trimетиламина  $(\text{CH}_3)_3\text{N}-\text{O}$  ( $1.388(5)$  Å) и N-оксиде триэтиламина  $(\text{CH}_2\text{CH}_3)_3\text{N}-\text{O}$  ( $1.396(6)$  Å). Это позволяет

нам описывать связь N—O как ионную  $\bar{\text{O}}-\overset{+}{\text{N}}$ .

Длины связей N—C в молекуле ОА такие же, как в комплексе ОАТЭА ( $1.49(1)$  Å), связи C—C тоже близки между собой ( $1.52(1)$ — $1.53(1)$  Å, как в силатранах), а межатомные расстояния C—O ( $1.453(8)$  и  $1.425(6)$  Å в ОА и ОАТЭА соответственно) различаются на  $0.02$  Å. Это указывает на повышенную основность группы OH в ОА. Валентные углы CNC, NCC и CCO обычны для цепи  $\text{NCH}_2\text{CH}_2\text{OH}$ .

Работа выполнена при поддержке Совета при Президенте РФ по грантам и государственной

поддержке ведущих научных школ РФ (грант НШ-3649.2014.3).

## СПИСОК ЛИТЕРАТУРЫ

1. Limnios D., Kokotos C.J. // Europ. J. Chem. 2014. V. 20. P. 559–563.
2. Albini A. // Synthesis. 1993. № 3. P. 263–277.
3. Colladon M., Scarso A., Strukul G. // Green Chem. 2008. V. 10. P. 793–798.
4. Воронков М.Г., Барышок В.П. // Вестн. РАН. 2010. Т. 80. № 11. С. 985–992.
5. Шкловер В.Е., Гридунова Г.В., Стручков Ю.Т., Воронков М.Г. // ДАН. 1983. Т. 269. № 2. С. 387–390.
6. Pestunovich V.A., Kirpichenko S.V., Voronkov M.G. In: The Chemistry of Organic Silicon Compounds. N.Y.: Wiley, 1998. V. 2. Pt 2. P. 1447–1537.
7. Parkanyi L., Hencsel P., Nyulaszi L. // J. Mol. Struct. 1996. V. 377. P. 27–33.
8. Воронков М.Г., Зельbst Э.А., Беляева В.В. // ДАН. 2014. Т. 455. № 2. С. 167–170.
9. Kemmit T., Gainsford G.J., Steel P.J. // Acta cryst. Sect. E. 2002. V. 58. P. o851.
10. Madsen I.C., Hill R.J. // Adv. X-ray Anal. 1992. № 35. P. 39.
11. Madsen I.C., Hill R.J. // J. Appl. Cryst. 1994. № 27. P. 385.
12. David W.I.F. In: Accuracy in Powder Diffraction: Optimization of Data Collection Strategies. Abstr. P2.6. NIST Spec. Publ. № 846. Gaithersburg, 1992. P. 210.
13. Bruker Diffrac-Plus Basic XRD Wizard. Karlsruhe: Bruker AXC, 2002/2007.
14. Bruker. TOPAS V4: General Profile and Structure Analysis Software for Powder Diffraction Data. User's Manual. Karlsruhe: Bruker AXS, 2008.
15. Mootz D., Brodalla D., Wiebcke M. // Acta cryst. Sect. C. 1989. V. 45. P. 754–757.